

# Two-Aircraft Optimal Control Problem. The in-flight noise reduction

F. Nahayo

En collaboration avec M. Haddou, S. Khardi et M. Hamadiche

SMAI 2011, 23 mai-27 mai 2011





## Modélisation mathématique..... (1)

- Deux avions de même type (Airbus A3XX) doivent atterrir successivement sur une seule piste d'un aéroport donné.
- Le mouvement 3-D de chaque avion s'analyse à l'aide de trois repères : Le repère terrestre  $R_o$ , le repère aérodynamique  $R_a$ , le repère avion  $R_b$ .
- Lois générales et équations de mouvement :

$$\begin{aligned} \sum \vec{F}_{ext_i} - \frac{dm_i}{dt} \vec{V}_{a_i} &= \frac{m_i d\vec{V}_{a_i}}{dt} \\ \sum \vec{M}_{ext_{G_i}} &= \frac{d}{dt} [I_{G_i} \vec{\Omega}_i] \end{aligned} \quad (1)$$

où  $i = 1, 2$  est l'indice avion.

La dérivation de  $\vec{X}$  est donnée par

$$\left. \frac{d\vec{X}}{dt} \right|_{R_o} = \left. \frac{d\vec{X}}{dt} \right|_{R_a} + \vec{\Omega}_{R_a/R_o} \times \vec{X}$$

## Modélisation mathématique..... (2)

### Quelques hypothèses de simplification

- 1 Le vent est constant.
- 2 Les coordonnées moteur sont négligées.
- 3 L'accélération complémentaire de chaque avion est négligée.
- 4 Sous les différentes simplifications et moyennant quelques transformations mathématiques, les équations générales de mouvement de l'avion  $i$  prennent la forme suivante.

## Modélisation mathématique..... (3)

$$\begin{aligned}
 \dot{V}_{a_i} &= \frac{1}{m_i} \left[ -m_i g \sin \gamma_{a_i} - \frac{1}{2} \rho S V_{a_i}^2 C_D \right. \\
 &\quad \left. + (\cos \alpha_{a_i} \cos \beta_{a_i} + \sin \beta_{a_i} + \sin \alpha_{a_i} \cos \beta_{a_i}) F_{x_i} - \frac{dm_i}{dt} u_i \right] \\
 \dot{\beta}_{a_i} &= \frac{1}{m_i V_{a_i}} \left[ m_i g \cos \gamma_{a_i} \sin \mu_{a_i} + \frac{1}{2} \rho S V_{a_i}^2 C_{y_i} \right. \\
 &\quad \left. + [-\cos \alpha_{a_i} \sin \beta_{a_i} + \cos \beta_{a_i} - \sin \alpha_{a_i} \sin \beta_{a_i}] F_{y_i} - \frac{dm_i}{dt} v_i \right] \\
 \dot{\alpha}_{a_i} &= \frac{1}{m_i V_{a_i} \cos \beta_{a_i}} \left[ m_i g \cos \gamma_{a_i} \cos \mu_{a_i} - \frac{1}{2} \rho S V_{a_i}^2 C_{L_i} \right. \\
 &\quad \left. + [-\sin \alpha_{a_i} + \cos \alpha_{a_i}] F_{z_i} - \frac{dm_i}{dt} w_i \right] \\
 \dot{p}_i &= \frac{C}{AC - E^2} \{ r_i q_i (B - C) - E p_i q_i + \frac{1}{2} \rho S I V_{a_i}^2 C_{l_i} \} \\
 &\quad + \frac{E}{AC - E^2} \{ p_i q_i (A - B) - E r_i q_i + \frac{1}{2} \rho S I V_{a_i}^2 C_{n_i} \} \\
 \dot{q}_i &= \frac{1}{B} \{ -r_i p_i (A - C) - E (p_i^2 - r_i^2) + \frac{1}{2} \rho S I V_{a_i}^2 C_{m_i} \}
 \end{aligned}$$

## Modélisation mathématique..... (4)

$$\dot{r}_i = \frac{E}{AC-E^2} \{r_i q_i (B - C) + E p_i q_i + \frac{1}{2} \rho SIV_{ai}^2 C_{li}\} + \frac{A}{AC-E^2} \{p_i q_i (A - B) - E r_i q_i + \frac{1}{2} \rho SIV_{ai}^2 C_{ni}\}$$

$$\dot{X}_{G_i} = V_{a_i} \cos \gamma_{a_i} \cos \chi_{a_i},$$

$$\dot{Y}_{G_i} = V_{a_i} \cos \gamma_{a_i} \sin \chi_{a_i},$$

$$\dot{Z}_{G_i} = -V_{a_i} \sin \gamma_{a_i}$$

$$\dot{\phi}_i = p_i + q_i \sin \phi_i \tan \theta_i + r_i \cos \phi_i \tan \theta_i,$$

$$\dot{\theta}_i = q_i \cos \phi_i - r_i \sin \phi_i$$

$$\dot{\psi}_i = \frac{\sin \phi_i}{\cos \theta_i} q_i + \frac{\cos \phi_i}{\cos \theta_i} r_i,$$

$$\dot{m}_i = \frac{-2.01 \times 10^{-5} (\Phi - \mu_i - \frac{K_i}{\eta_c}) \sqrt{\Theta}}{\sqrt{5 \eta_n (1 + \eta_{tf_i} \lambda)} \sqrt{G_i + 0.2 M_i^2 \frac{\eta_{d_i}}{\eta_{tf_i}} \lambda - (1 - \lambda) M_i}} P_0 \delta_{xi} \frac{\rho_i}{\rho_0} (1 - M_i + \frac{M_i^2}{2})$$

## Modélisation mathématique..... (5)

- $m_i$  est la masse de l'avion , variable à cause de la consommation du carburant.
- Transformation du système (2) en fonction d'état, la dynamique de l'avion s'écrit :

$$\begin{aligned} \frac{dy_i(t)}{dt} &= \mathbf{f}_i(\mathbf{y}_i(t), \mathbf{u}_i(t)), i = 1, 2 \\ \forall t \in [0, T], \mathbf{y}_i(0) &= \mathbf{y}_{i0} \end{aligned} \quad (3)$$

## Modélisation mathématique..... (6)

Fonction coût, cas d'un seul avion

$$SEL = 10 \log \left[ \frac{1}{t_o} \int_{t_{10}}^{t_{1f}} 10^{0.1 L_{A1,dt}(t)} dt \right] \quad (4)$$
$$\forall t \in [t_{10}, t_{1f}]$$



## Modélisation mathématique..... (7)

- Modélisation de la fonction coût, cas de deux avions sans retard :

$$SEL_1 = 10 \log \left[ \frac{1}{t_o} \int_{t_{10}}^{t_{20}} 10^{0.1L_{A1,d}(t)} dt \right], t \in [t_{10}, t_{20}]$$

$$SEL_{12} = SEL_{11} \oplus SEL_{21}$$

$$= 10 \log \left[ \frac{1}{t_o} \int_{t_{20}}^{t_{1f}} 10^{0.1L_{A1,d}(t)} dt + \frac{1}{t_o} \int_{t_{20}}^{t_{1f}} 10^{0.1L_{A2,d}(t)} dt \right], t \in [t_{20}, t_{1f}]$$

$$SEL_2 = 10 \log \left[ \frac{1}{t_o} \int_{t_{1f}}^{t_{2f}} 10^{0.1L_{A2,d}(t)} dt \right], t \in [t_{1f}, t_{2f}]$$

$$SEL_G = \frac{(t_{20}-t_{10})SEL_1 \oplus (t_{1f}-t_{20})SEL_{12} \oplus (t_{2f}-t_{1f})SEL_2}{t_{2f}-t_{10}}$$

$$= 10 \log \left\{ \frac{1}{t_{2f}-t_{10}} \left[ (t_{20}-t_{10}) \int_{t_{10}}^{t_{20}} 10^{0.1L_{A1}(t)} dt + (t_{1f}-t_{20}) \int_{t_{20}}^{t_{1f}} 10^{0.1L_{A1}(t)} dt + (t_{1f}-t_{20}) \int_{t_{20}}^{t_{1f}} 10^{0.1L_{A2}(t)} dt + (t_{2f}-t_{1f}) \int_{t_{1f}}^{t_{2f}} 10^{0.1L_{A2}(t)} dt \right] \right\}, t \in [t_{10}, t_{2f}]$$

## Modélisation mathématique..... (8)

- Les niveaux de bruit de l'avion au point d'observation :

$$L_{Ai}(t) = L_{Ref} - 20 \log_{10} R + \Delta_{atm} + \Delta_{ground} + \Delta_v + \Delta_f,$$

- soit  $L_{Ai}(t) = 141 + 10 \log \left( \frac{\rho_1}{\rho} \right)^w + 10 \log \left( \frac{V_e}{c} \right)^{7.5} +$

$$10 \log s_1 + 3 \log \left( \frac{2s_1}{\pi d_1^2} + 0.5 \right) + 5 \log \frac{\tau_1}{\tau_2} +$$

$$10 \log \left[ \left( 1 - \frac{v_2}{v_1} \right)^{me} + 1.2 \frac{\left( 1 + \frac{s_2 v_2^2}{s_1 v_1^2} \right)^4}{\left( 1 + \frac{s_2}{s_1} \right)^3} \right] - 20 \log R + \Delta V +$$

$$10 \log \left[ \left( \frac{\rho}{\rho_{ISA}} \right)^2 \left( \frac{c}{c_{ISA}} \right)^4 \right]$$

## Modélisation mathématique..... (9)

- $v_1$  vitesse de jet à l'entrée de la tuyère,  $v_2$  vitesse de jet à la sortie de la tuyère,  $\tau_1$  température à l'entrée de la tuyère,  $\tau_2$  température à la sortie de la tuyère,
- $\rho$  masse volumique de l'air,  $\rho_1$  masse volumique atmosphérique à l'entrée de la tuyère,  $\rho_{ISA}$  masse volumique atmosphérique au sol,
- $s_1$  surface d'entrée de la tuyère hydraulique du moteur,  $s_2$  surface de sortie de la tuyère hydraulique du moteur,  $d_1$  diamètre d'entrée de la tuyère hydraulique du moteur,
- $V_e = v_1[1 - (V/v_1) \cos(\alpha_p)]^{2/3}$  vitesse effective,  $\alpha_p$  angle entre l'axe du moteur et l'axe de l'avion,  $R$  distance source-observateur,
- $w = \frac{3(V_e/c)^{3.5}}{0.6 + (V_e/c)^{3.5}} - 1$  variable exposante,  $c$  vitesse du son (m/s),

## Modélisation mathématique..... (10)

- $me$  variable exposante, dépendant du type d'avion,

$$me = 1.1 \sqrt{\frac{s_2}{s_1}}; \quad \frac{s_2}{s_1} < 29.7, \quad me = 6.0; \quad \frac{s_2}{s_1} \geq 29.7,$$

- $\Delta V = -15 \log(C_D(M_c, \theta)) - 10 \log(1 - M \cos \theta)$  convection Doppler
- $C_D(M_c, \theta) = [(1 + M_c \cos \theta)^2 + 0.04 M_c^2]$ ,  $M$  nombre de Mac de l'avion,  $M_c = 0.62(v_1 - V \cos(\alpha_p)) / c$  nombre de Mac de convection,  $\theta$  angle d'émission.

## Modélisation mathématique..... (11)

- La fonction objectif s'écrit

$$J : C^1((0, T), \mathbf{R}^{13}) \times C^1((0, T), \mathbf{R}^4) \longrightarrow \mathbf{R}$$
$$(\mathbf{y}(t), \mathbf{u}(t)) \longrightarrow J_{12}(\mathbf{y}(\cdot), \mathbf{u}(\cdot)) = \int_{t'} g(\mathbf{y}(t), \mathbf{u}(t)) dt$$

où  $J_{12}(\mathbf{y}(\cdot), \mathbf{u}(\cdot))$  est le niveau de bruit global de la formule (5).

- Résoudre un problème de commande optimale dans le cas du problème de deux avions en approche doit se faire dans des domaines de vol réalistes.
- Les procédures opérationnelles de vol doivent respecter certaines limites en rapport avec la sécurité de l'appareil, la vitesse et les modes opérationnelles de l'avion.

## Modélisation mathématique..... (12)

- Modélisation de la fonction coût, cas du deuxième avion en retard de  $\delta_t$  par rapport au premier :

$$\begin{aligned} J(\mathbf{y}(\cdot), \mathbf{u}(\cdot)) &= \int_{t_0}^{t_0+\delta_t} 10^{0.1L_{A1}(t)} dt \\ J(\mathbf{y}(\cdot), \mathbf{u}(\cdot)) &= \int_{t_0}^{t_f} [10^{0.1L_{A1}(t)} + 10^{0.1L_{A2}(t-\delta_t)}] dt \quad (6) \\ J(\mathbf{y}(\cdot), \mathbf{u}(\cdot)) &= \int_{t_f}^{t_f+\delta_t} 10^{0.1L_{A2}(t-\delta_t)} dt \end{aligned}$$

où  $L_{A2}(t) = L_{A1}(t)$ .

## Modélisation mathématique..... (13)

- Les deux avions sont séparés moyennant :  $\mathbf{X}^{12} = \mathbf{X}^2 - \mathbf{X}^1$  où  $\mathbf{X}^1 = (X_{G1}, Y_{G1}, Z_{G1})$  et  $\mathbf{X}^2 = (X_{G2}, Y_{G2}, Z_{G2})$ .
- La vitesse doit être bornée comme suit :  $1.13V_s \leq V_{a_i} \leq V_f$ .
- Le contrôle de l'avion  $\delta(t) = (\delta_{l_i}(t), \delta_{m_i}(t), \delta_{n_i}(t), \delta_{x_i}(t))$  doit osciller entre la position maximale et minimale.
- La masse doit varier selon  $m_o < m_i < m_f, i = 1, 2$ .
- La formulation de toutes les contraintes :

$$\begin{aligned}
 \mathbf{k}_i : \mathbf{R}^{13} \times \mathbf{R}^4 &\longrightarrow \mathbf{R}^{17} \\
 (\mathbf{y}_i(t), \mathbf{u}_i(t)) &\longrightarrow \mathbf{k}_i(\mathbf{y}_i(t), \mathbf{u}_i(t)), \\
 \mathbf{k}_{1i}(\mathbf{y}_i(t), \mathbf{u}_i(t)) &\leq 0, \\
 \mathbf{k}_{2i}(\mathbf{y}_i(t), \mathbf{u}_i(t)) &\geq 0
 \end{aligned} \tag{7}$$

## Modélisation mathématique..... (14)

- Mathématiquement, le problème de contrôle optimal se présente comme suit :

$$\begin{cases} \min_{\mathbf{u} \in \mathbf{U}} J_{12}(\mathbf{y}(\cdot), \mathbf{u}(\cdot)) = \int_{t_{10}}^{t_{2f}} g(\mathbf{y}(t), \mathbf{u}(t)) dt \\ \dot{\mathbf{y}}(t) = \mathbf{f}(\mathbf{y}(t), \mathbf{u}(t)), t \in [t_{10}, t_{2f}] \\ \mathbf{k}_{1i}(\mathbf{y}, \mathbf{u}, t) \leq 0, t_{10} = 0, \mathbf{y}(0) = \mathbf{y}_o, \mathbf{u}(0) = \mathbf{u}_o \\ \mathbf{k}_{2i}(\mathbf{y}, \mathbf{u}, t) \geq 0, i = 1, 2 \end{cases} \quad (8)$$

$$\mathbf{k}_{1i}(\mathbf{y}, \mathbf{u}, t) = (\gamma_i - \gamma_{imax}, \chi_i - \chi_{imax}, V_i - V_{imax}, x_i - x_{imax}, y_i - y_{imax}, h_i - h_{imax}, \alpha_i - \alpha_{imax}, \delta_{xi} - \delta_{ximax}, \mu_i - \mu_{imax}, m_i - m_{imax}),$$

$$\mathbf{k}_{2i}(\mathbf{y}, \mathbf{u}, t) = (\gamma_i - \gamma_{imin}, \chi_i - \chi_{imin}, V_i - V_{imin}, x_i - x_{imin}, y_i - y_{imin}, h_i - h_{imin}, \alpha_i - \alpha_{imin}, \delta_{xi} - \delta_{ximin}, \mu_i - \mu_{imin}, m_i - m_{imin}).$$



# Démarche de discrétisation du problème de deux avions (1)

- 1 Subdiviser l'intervalle de temps  $[t_{10}, t_{2f}]$ ,  
 $h = t_{n+1} - t_n = \frac{t_f - t_0}{N}$ ,  $N$  nombre de discrétisation.
- 2 Pour  $0 \leq n \leq N$ ,

$$\begin{aligned}
 & \min_{\mathbf{u} \in \mathbf{U}} J_{12}(\mathbf{y}_n, \mathbf{u}_n) \\
 & \mathbf{l}_1 = h\mathbf{f}(t_n, \mathbf{y}_n, \mathbf{u}_n) \\
 & \mathbf{l}_2 = h\mathbf{f}(t_n + \frac{h}{2}, \mathbf{y}_n + \frac{\mathbf{l}_1}{2}, \mathbf{u}_n) \\
 & \mathbf{l}_3 = h\mathbf{f}(t_n + \frac{h}{2}, \mathbf{y}_n + \frac{\mathbf{l}_2}{2}, \mathbf{u}_n) \\
 & \mathbf{l}_4 = h\mathbf{f}(t_n + h, \mathbf{y}_n + \mathbf{l}_3, \mathbf{u}_n), t_{n+1} = t_n + h \\
 & \mathbf{y}_{n+1} = \mathbf{y}_n + \frac{1}{6}(\mathbf{l}_1 + 2\mathbf{l}_2 + 2\mathbf{l}_3 + \mathbf{l}_4) \\
 & \mu_1 \mathbf{k}_1(\mathbf{y}(t_n), \mathbf{u}(t_n)) = 0, \mu_2 \mathbf{k}_2(\mathbf{y}(t_n), \mathbf{u}(t_n)) = 0, \\
 & \mu_1 \leq 0, \mu_2 \geq 0 \\
 & \text{Ecrire } t_{n+1} = t_n + h, \mathbf{y}_{n+1}.
 \end{aligned} \tag{10}$$

- 3 Arrêt.

## Démarche de résolution du problème de deux avions (2)

- Une méthode de type SQP.
- Une méthode de type points intérieurs

# Quelques résultats numériques, Cas de deux avions sans retard (1)

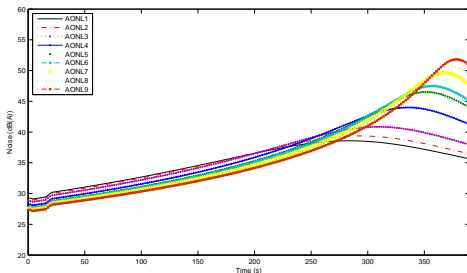


FIGURE: Aircraft optimal noise levels

## Quelques résultats numériques, Premier cas (2)

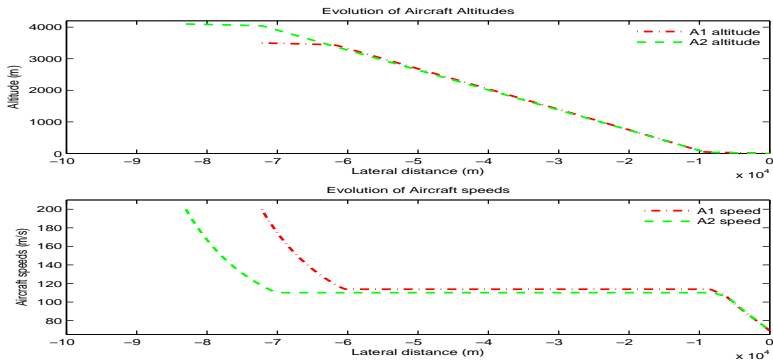


FIGURE: Evolution of the two-aircraft optimal trajectories and speeds.

## Quelques résultats numériques, Premier cas (3)

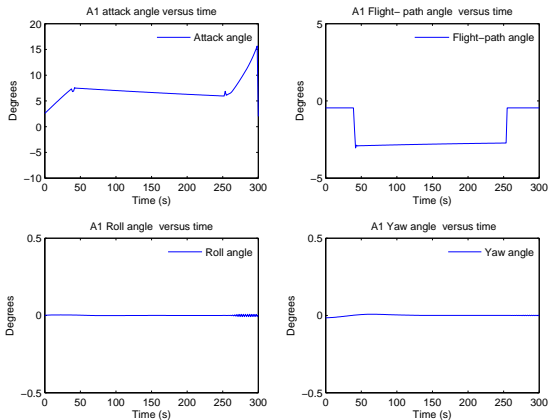


FIGURE: First aircraft flight path angles

## Quelques résultats numériques, Premier cas (4)

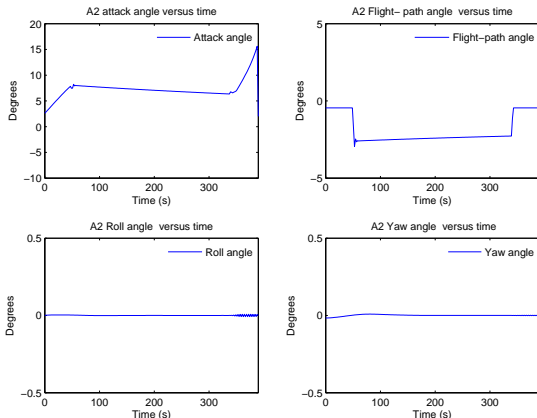


FIGURE: Second aircraft flight path angles

## Quelques résultats numériques, Premier cas (5)

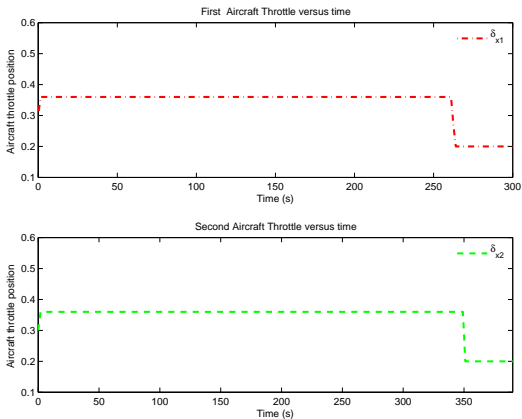


FIGURE: Aircraft throttle evolution

# Quelques résultats numériques, Cas avec retard (1)

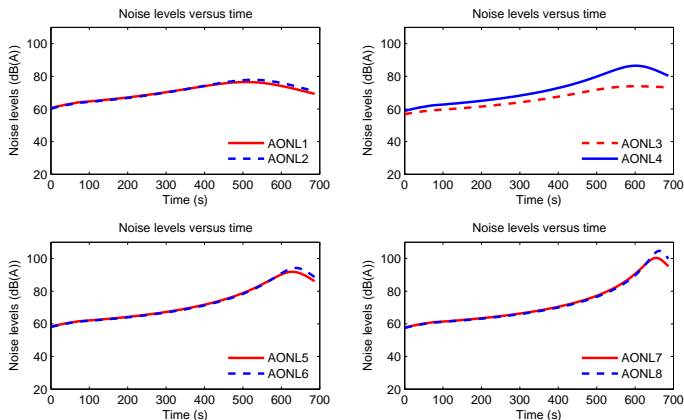


FIGURE: Optimal noise levels



## Quelques résultats numériques, Deuxième cas (2)

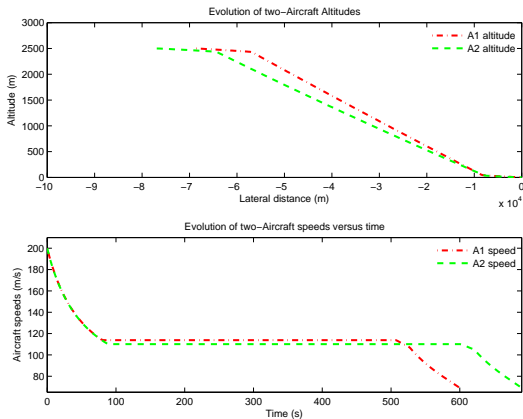


FIGURE: Aircraft optimal trajectories and speeds

## Quelques résultats numériques, Deuxième cas (3)

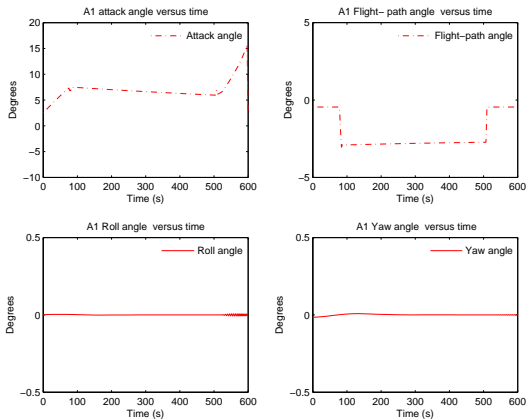


FIGURE: First aircraft flight angles

## Quelques résultats numériques, Deuxième cas (4)

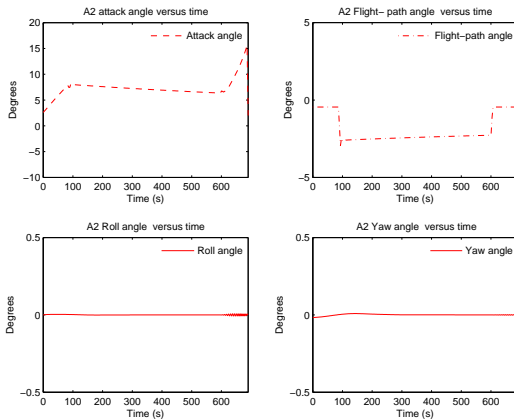


FIGURE: Second aircraft flight angles

# Quelques résultats numériques, Deuxième cas (5)

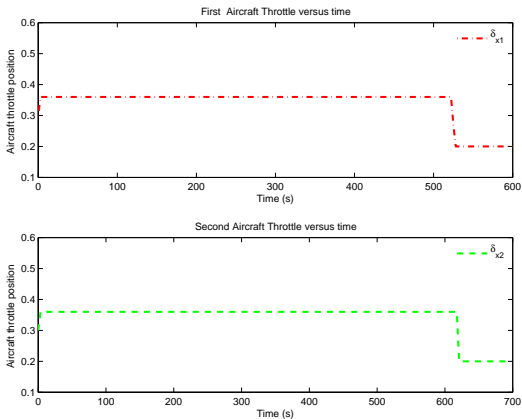


FIGURE: Aircraft throttle evolution



## Interprétation des résultats

- Trajectoire optimale obtenue, Descente continue, procédures d'approche optimales
- Les contraintes de vol sont respectées
- Cas académique non pratique en réalité.

## Quelques perspectives d'avenir

- Etendre le modèle pour plus de deux avions en supposant que les avions viennent d'une même direction
- Considerer toujours un atterrissage sur une même piste ou deux pistes parallèles
- Varier le type des avions
- Proposer une trajectoire optimale suivie par tout un groupe d'avions atterrissant dans un aéroport.
- Comme pour le cas un seul avion, prendre en compte la consommation comme fonction objectif.
- Utiliser une méthode indirecte pour conforter les résultats

## Validation et Publication des résultats

- 1 F.Nahayo, S.Khardi, J.Ndimubandi, M.Haddou, M.Hamadiche. *Réduction du bruit de deux avions commerciaux en approche, technique de commande optimale*, CFA, Lyon 12-16 Avril 2010
- 2 F.Nahayo, S.Khardi, J.Ndimubandi, M.Haddou, M.Hamadiche. *Two-Aircraft Acoustic Optimal Control Problem : SQP algorithms*, CARI'10, Yamoussoukro 18-21 Octobre 2010, accepté pour publication, ARIMA journal.
- 3 S.Khardi, F.Nahayo, M.Haddou. *The Trust Region Sequential Quadratic Programming Method Applied to two-Aircraft Acoustic Optimal Control Problem*, Applied Mathematical Sciences, Vol.5, 2011, no.40, 1953-1976
- 4 F.Nahayo, S.Khardi, M.Haddou. *Optimal control of two-Commercial Aircraft Dynamic System during Approach. The Noise Levels Minimization*,  IFSTAR,  General 



Merci pour votre attention !  
Vos suggestions et questions sont les bienvenues.



## Annexe (1)

- 1  $V_{ai}$  est la vitesse aérodynamique dont les composantes sont  $u_i, v_i, w_i$ ,  $\beta_{ai}$  est l'angle de dérapage aérodynamique,  $\alpha_{ai}$  est l'angle d'attaque
- 2  $p_i, q_i, r_i$  sont respectivement les vitesses de roulis, de tangage et de lacet de l'avion relative à la terre.
- 3  $X_{Gi}, Y_{Gi}, Z_{Gi}$  expriment la position de l'avion.
- 4  $\phi_i$  est l'angle de roulis,  $\theta_i$  est l'angle de tangage et  $\psi_i$  l'angle de lacet.
- 5  $A, B, C, E$  sont les moments d'inertie de l'avion.
- 6  $(C_{li}, C_{mi}, C_{ni})$  sont respectivement les coefficients de moment de roulis, de tangage et de lacet.
- 7  $\rho, S, l$  sont respectivement la densité de l'air, la surface de référence de l'avion et la longueur de référence allaire
- 8  $C_D, C_{yi}, C_{Li}$  sont les coefficients de force,  $F_{xi}, F_{yi}, F_{zi}$  la force propulsive

## Annexe (2)

- Convergence de l'algorithme moyenant les paramètres d'optimalité suivants :
- *KNITRO output optimality conditions, the local optimal solution is return with :*
  - *Final feasibility error (abs/rel) = 1.20e-07 / 2.19e-09,*
  - *Final optimality error(abs/rel)=4.98e-07 / 4.98e-07,*
  - *Total program time (secs)=663.61902 (663.049 CPU time),*